

# Prévention des accidents dus à la fatigue du métal dans le transport aérien



Numéro d'inscription:  
14209

TIPE 2018-2019  
TRANSPORT

# Problématique

- Comment se propagent les fissures dans un matériau conducteur ?
- Comment peut-on les détecter grâce au contrôle par courant de Foucault ?

# Plan

## Introduction

## Principe de la propagation des fissures

- Propagation des fissures
- Mise en évidence

## Étude de la propagation des fissures

- Modélisation
- Résolution analytique
- Résolution numérique

## Contrôle non destructif (CND)

- Principe du CND
- Différentes techniques du CND

## Méthode de contrôle par courants de Foucault

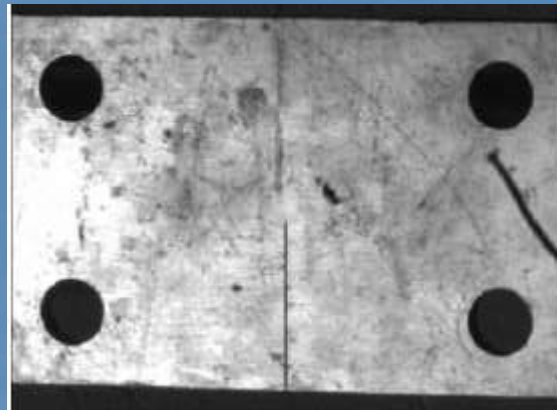
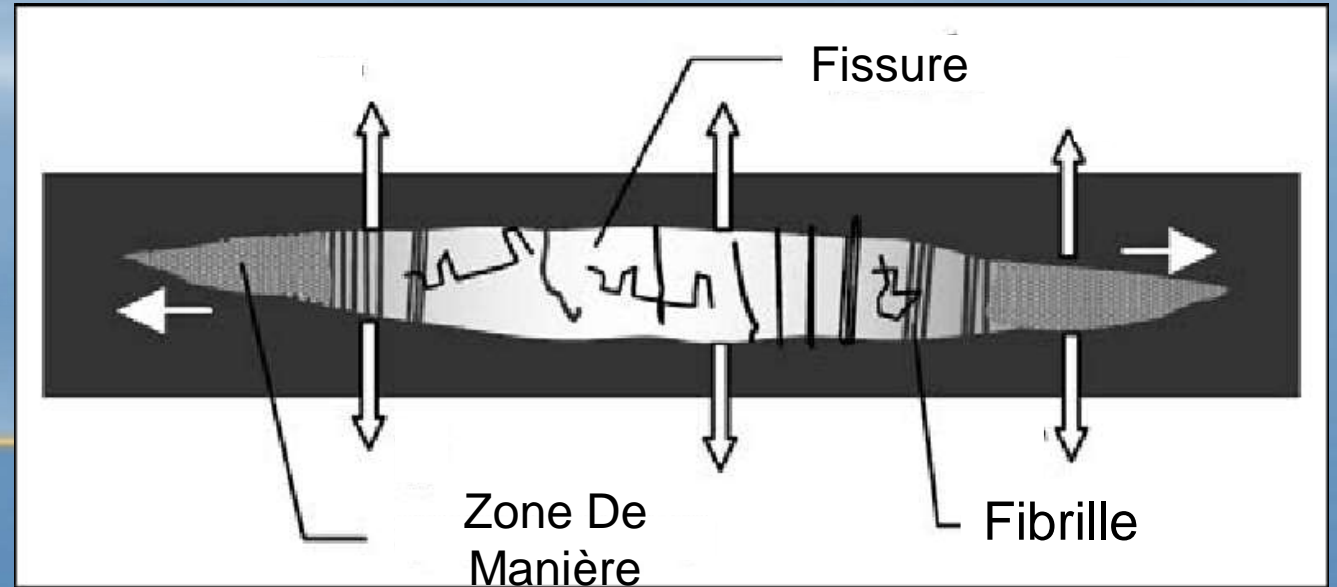
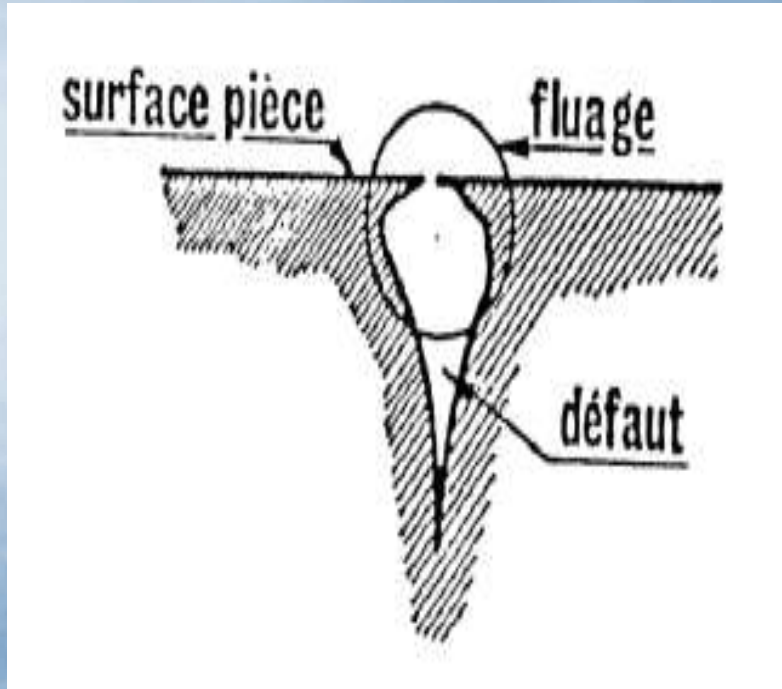
- Modélisation
- Résolution analytique
- Résolution Numérique

## Conclusion

# Contributions

- Prise de contact avec des usines et laboratoires en Tunisie
- Rencontre avec le physicien et le chercheur ATEF BOULILA, travaillant sur la propagation des fissures et le physicien EDOUARD TANTART
- Implémentation de codes python traduisant la diffusion de la fissure dans le métal
- Implémentation d'un code python permettant de visualiser la résolution analytique de l'équation de la chaleur par transformée de Fourier.

# Introduction





# Principe de la propagation des fissures

1<sup>ère</sup> expérience :

\* Poutre Homogène



+



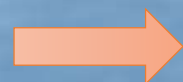
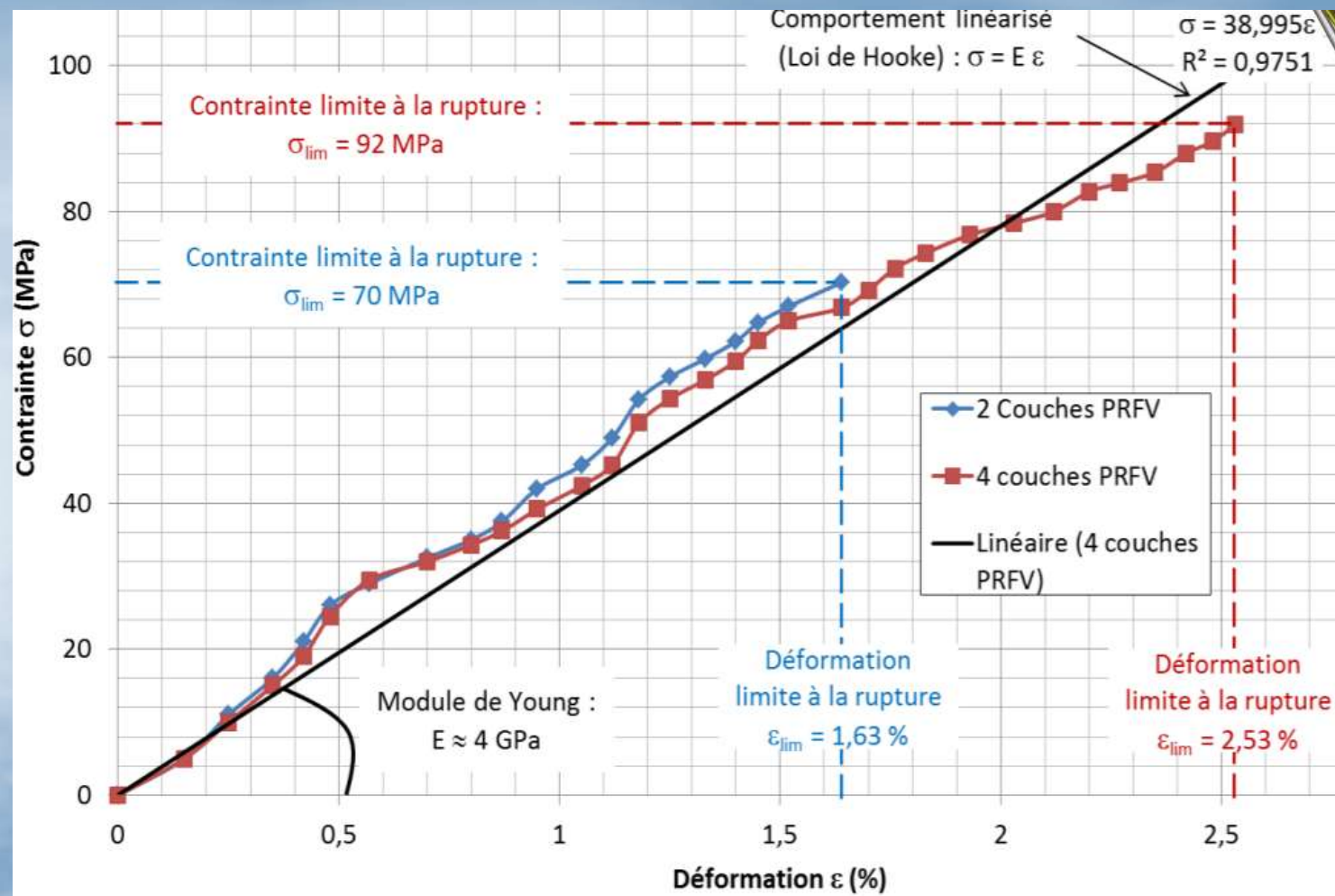
## \* Poutre Composite



ZOOM



Remarque: effort exercée plus important



On peut remarquer que dans des milieux différents on obtient une différence dans le mode de transport des fissures , d'où la nécessité d'une étude fine



## 2<sup>ème</sup> expérience: une force de traction appliquée à une éprouvette métalliques percées



Des éprouvettes métalliques  
percées

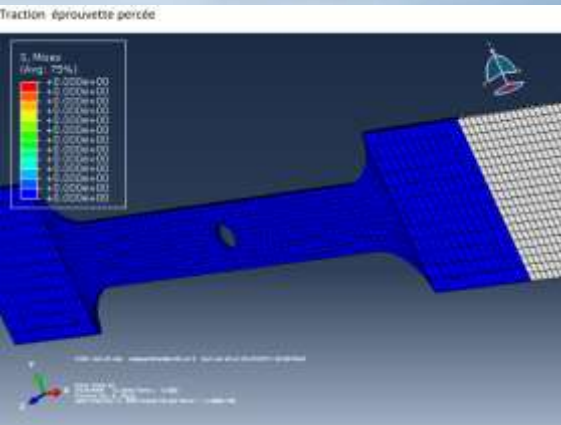


Machine de traction

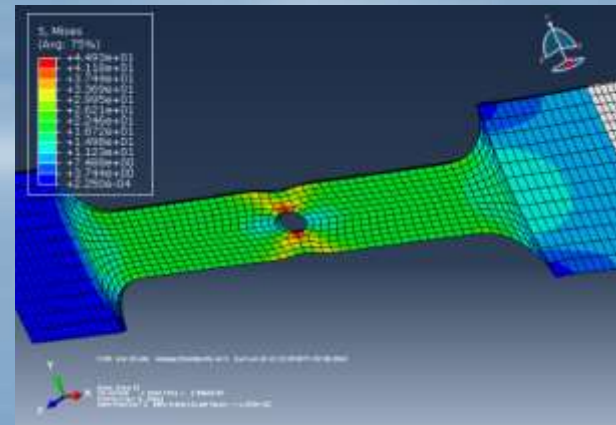


# Observation:

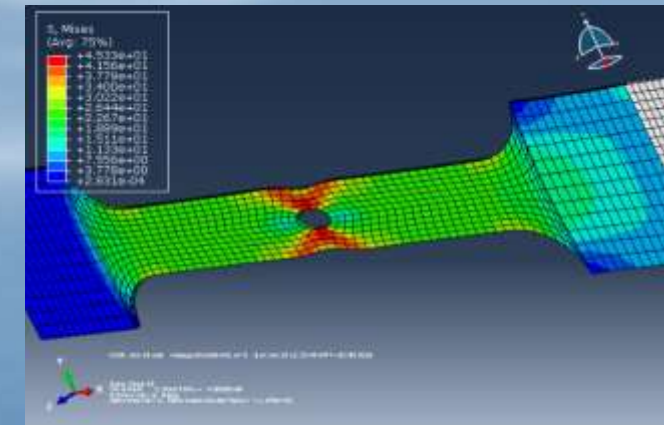
## Comportement du matériau pendant l'essai de traction



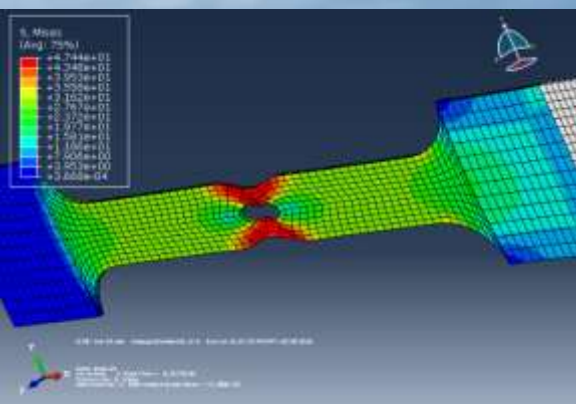
État initial



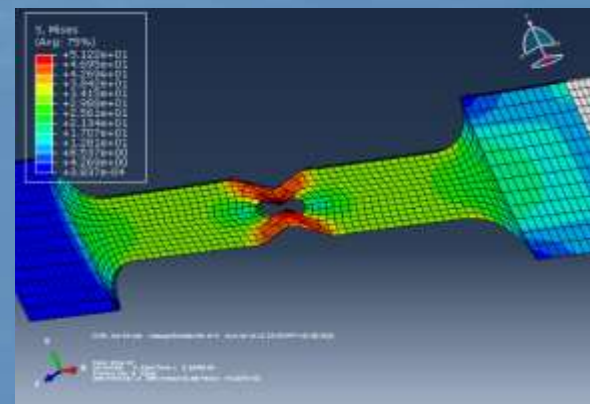
Zone élastique



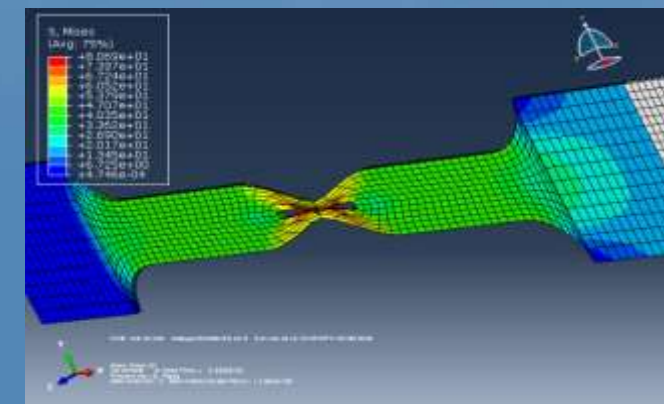
Début de la zone plastique



Diffusion de la chaleur



Apparition des fissures



État final

# Modélisation

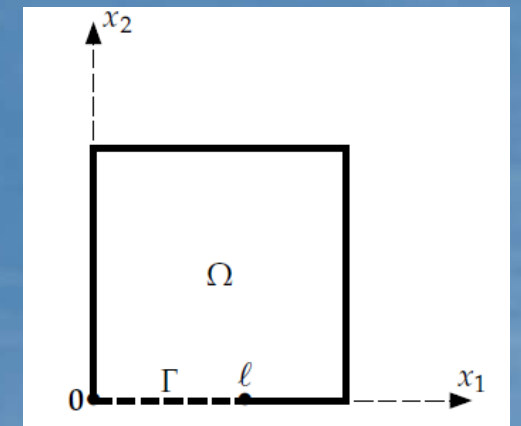
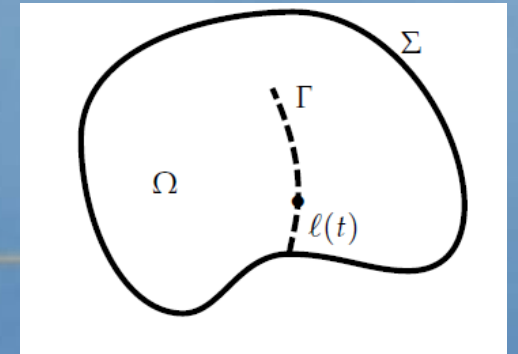
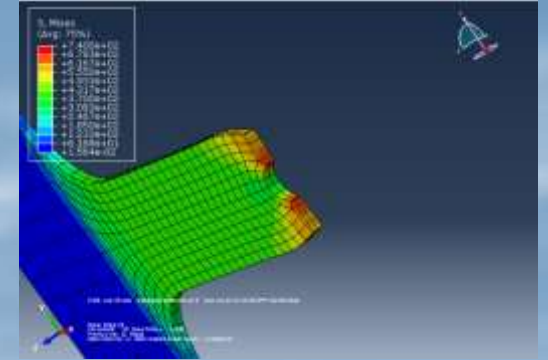
## Hypothèse

- \* Milieu solide : énergie potentielle
- \*\* la dissipation d'énergie d'une fissure en propagation
- \*\*\*  $\Omega = ]0, 1[x \times ]-1, 1[$ , avec une fissure le long de l'axe  $y = 0$   $\Gamma = [0, \ell] \times \{0\}$   
et  $x = (x_1, x_2)$

$$-\Delta u(x) = f(x) \quad \text{dans } \Omega$$

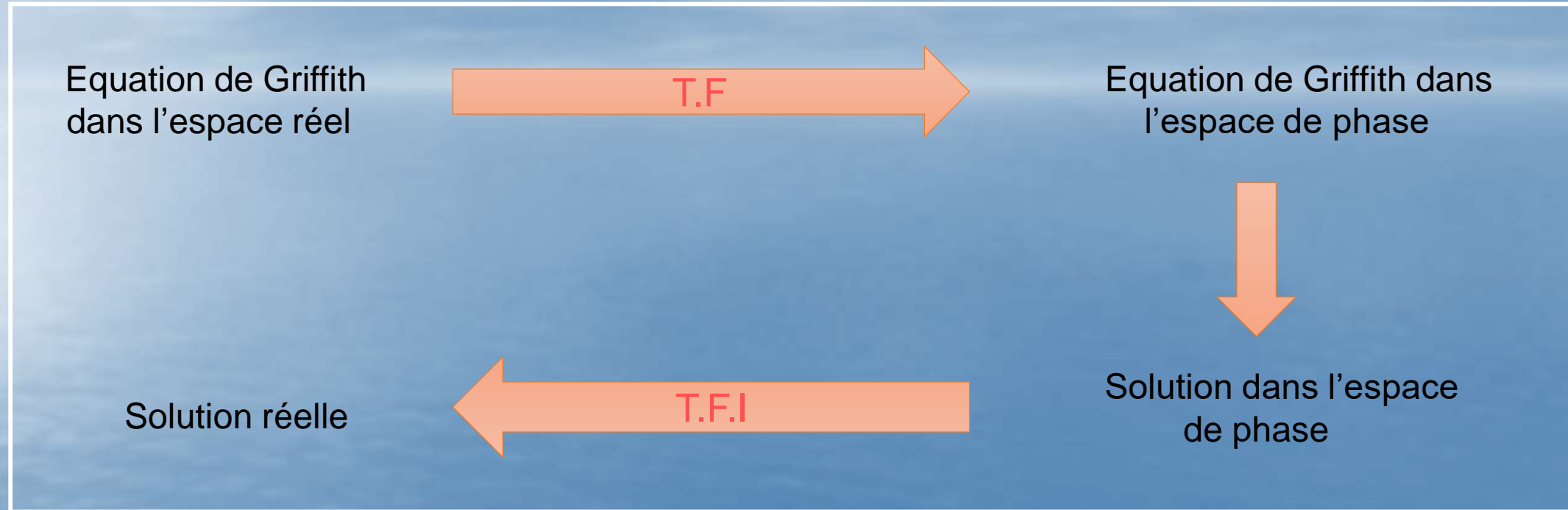
$$u(x) = 0 \quad \text{sur } \partial\Omega / \Gamma$$

$$\frac{\partial u(x)}{\partial x_2} = 0 \quad \text{sur } \Gamma$$





# Résolution analytique



\* Il suffit de fixer les conditions initiales sur le déplacement et sa dérivée première pour atteindre des solutions dans l'espace de phase

\* Pour des conditions initiales et aux limites quelconques de la forme :

$$\left\{ \begin{array}{l} u(0,t)=0 \quad \forall t \\ u(\infty, t) = 0 \quad \forall t \\ u(x,0) = e^{-i\omega t \frac{x^2}{2\sigma}} \quad \forall x \end{array} \right.$$



\* Cas de:  $f(x) = \frac{\partial u(x,t)}{\partial t}$

$$-\Delta u(x, t) = \frac{\partial u(x,t)}{\partial t} \quad (*)$$

On résout l'équation de la chaleur en considérant les paramètres constants et un déplacement unidimensionnelle

On applique à l'équation (\*) une transformée de Fourier (T.F) et son inverse avec :

$$\hat{h}(k) = \frac{1}{\sqrt{2\pi}} \int_{-\infty}^{+\infty} h(x) e^{-ikx} dx$$

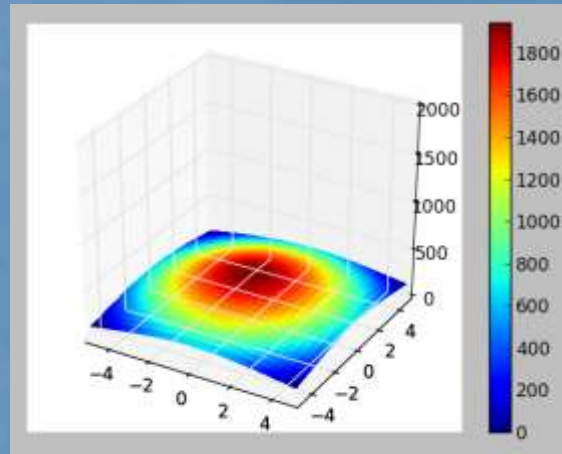
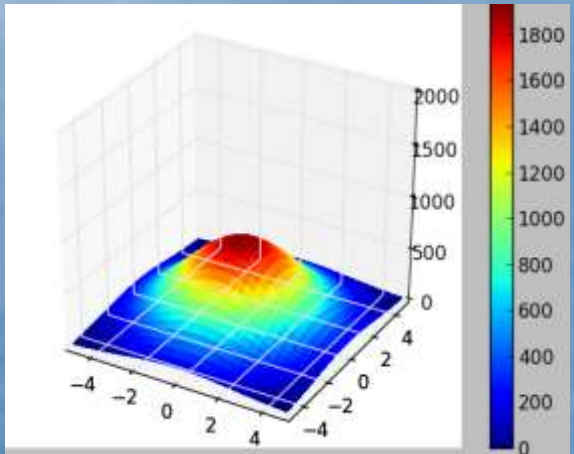
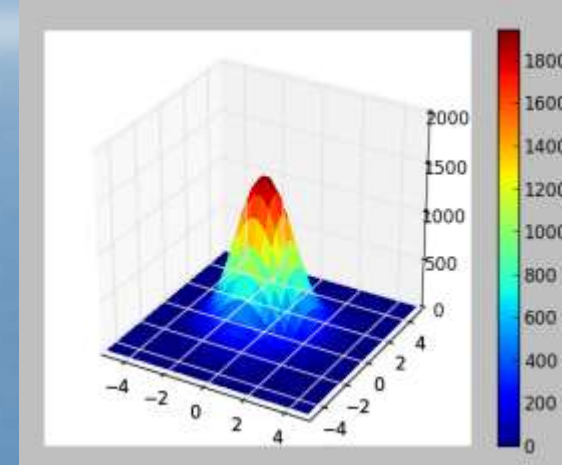
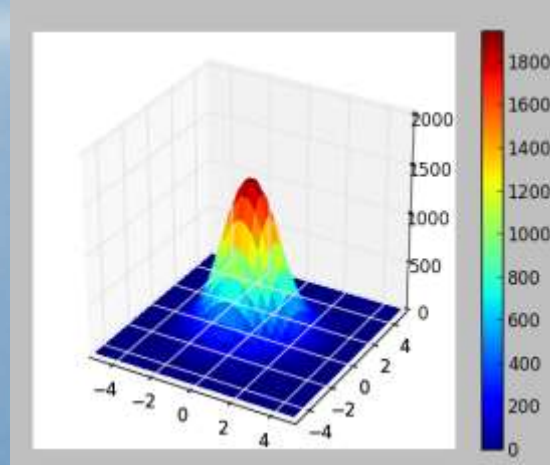
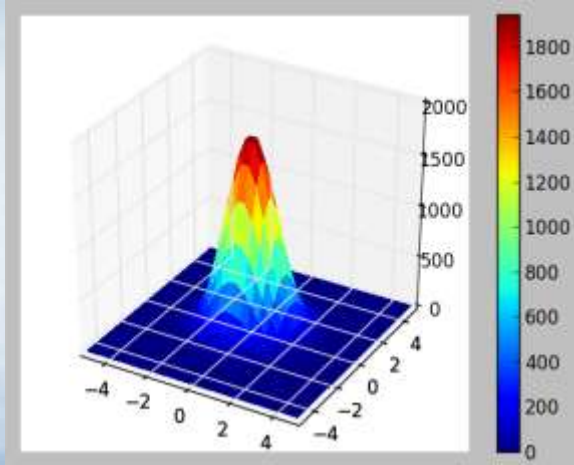
Avec pour condition initiale une impulsion de Dirac  $u(x,0)=f(x)$

$$\frac{\partial u}{\partial t} = -\frac{\partial^2 u}{\partial x^2} \quad \longrightarrow \quad \tilde{u}(k,t) = \frac{1}{\sqrt{2\pi}} e^{-k^2 t} \quad \longrightarrow \quad u(x,t) = \frac{1}{2\sqrt{\pi t}} e^{-\frac{x^2}{4t}}$$

Ne représente pas vraiment un phénomène physique , on utilise alors une gaussienne comme condition initiale:

$$\tilde{u}(k,t) = \sqrt{\sigma} e^{-\frac{k^2 \sigma}{2}} e^{-k^2 t} \quad \longrightarrow \quad u(x,t) = \frac{\sqrt{2\sigma}}{\sqrt{4t+2\sigma}} e^{-\frac{x^2}{4t+2\sigma}}$$

# Visualisation de la solution avec Python



- Diffusion de l'énergie dans la zone de la fissure  
Provoquant une fissuration
- Phénomène de transport d'énergie

# Résolution numérique

On résout l'équation de la chaleur à 2 dimensions en utilisant la méthode des différences finies.

On définit d'abord les pas  $x_i, y_j$  et  $t_k$ :  $x_i = x_0 + i\Delta x$ ,  $y_j = y_0 + j\Delta y$ ,  $t_k = t_0 + k\Delta t$

On détermine ensuite  $\frac{\partial u}{\partial t}$ ,  $\frac{\partial^2 u}{\partial x^2}$  et  $\frac{\partial^2 u}{\partial y^2}$  en appliquant Taylor respectivement à l'ordre 1 en  $t_k$  et à l'ordre 2 en  $x_i$  et  $y_j$ . On pose  $u_{i,j}^k = u(x_i, y_j, t_k)$

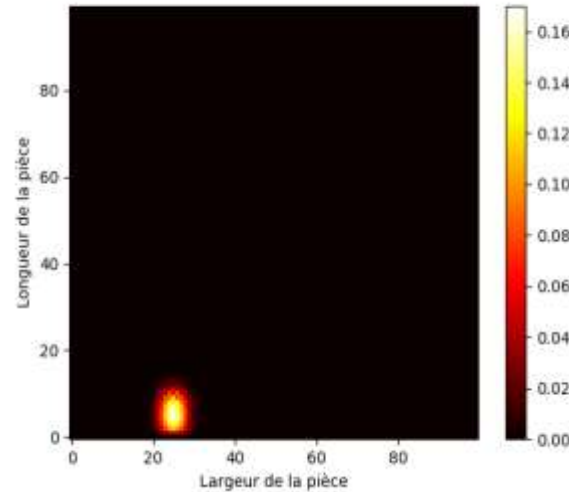
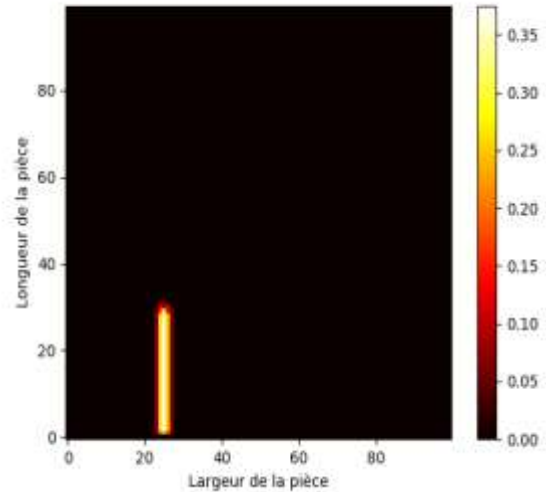
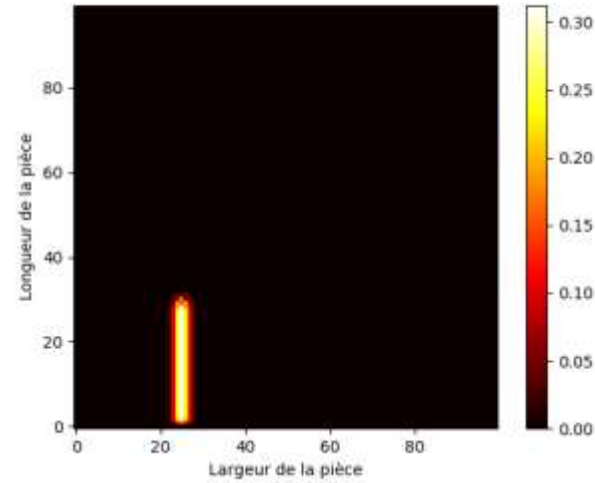
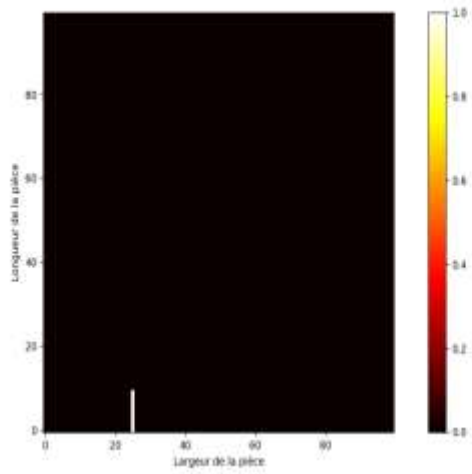
$$u(x_i + \Delta x, y_j, t_k) = u(x_i) + \Delta x \frac{\partial u}{\partial x} + \frac{\Delta x^2}{2} \frac{\partial^2 u}{\partial x^2} + O(\Delta x^3) \quad \longrightarrow \quad \frac{\partial^2 u}{\partial x^2} \cong \frac{u_{i+1,j}^k + u_{i-1,j}^k - 2u_{i,j}^k}{\Delta x^2}$$

$$u(x_i - \Delta x, y_j, t_k) = u(x_i) - \Delta x \frac{\partial u}{\partial x} + \frac{\Delta x^2}{2} \frac{\partial^2 u}{\partial x^2} + O(\Delta x^3) \quad \longrightarrow \quad \frac{\partial^2 u}{\partial y^2} \cong \frac{u_{i,j+1}^k + u_{i,j-1}^k - 2u_{i,j}^k}{\Delta y^2}$$

$$u(x_i, y_j, t_k + \Delta t) = u(x_i, y_j, t_k) + \Delta t \frac{\partial u}{\partial t} + O(\Delta t^2) \quad \longrightarrow \quad \frac{\partial u}{\partial t} \cong \frac{u_{i,j}^{k+1} - u_{i,j}^k}{\Delta t}$$

On remplace ensuite dans l'équation (\*)

$$\frac{u_{i,j}^{k+1} - u_{i,j}^k}{\Delta t} = \frac{u_{i+1,j}^k + u_{i-1,j}^k - 2u_{i,j}^k}{\Delta x^2} + \frac{u_{i,j+1}^k + u_{i,j-1}^k - 2u_{i,j}^k}{\Delta y^2} \quad \longrightarrow \quad u_{i,j}^{k+1} = u_{i,j}^k + \Delta t \left( \frac{u_{i+1,j}^k + u_{i-1,j}^k - 2u_{i,j}^k}{\Delta x^2} + \frac{u_{i,j+1}^k + u_{i,j-1}^k - 2u_{i,j}^k}{\Delta y^2} \right)$$



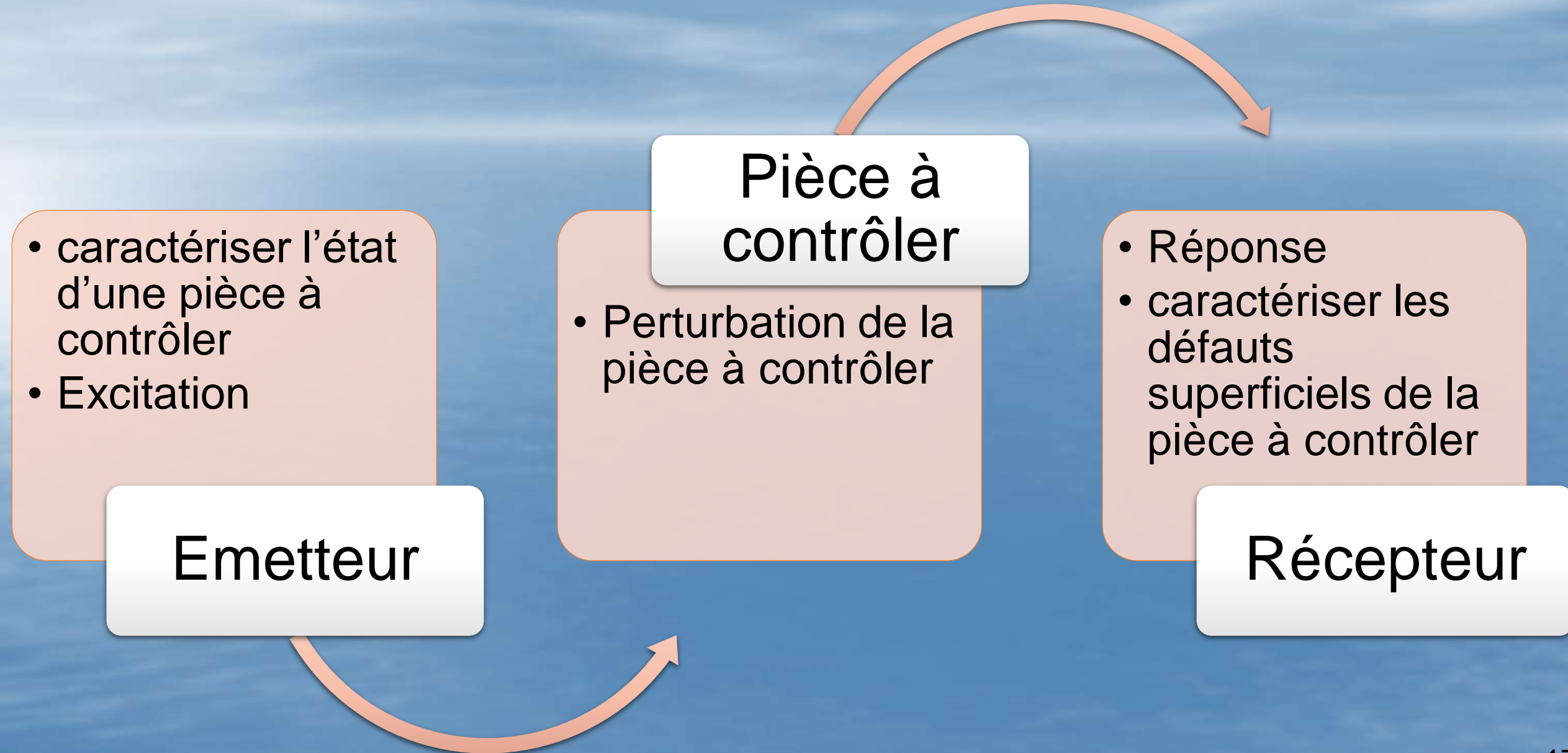
## Observation:

La simulation numérique n'est pas fidèle à la réalité physique.

Elle reproduit la diffusion de l'énergie mais ne représente pas la propagation des fissures d'où la nécessité d'un modèle plus élaboré



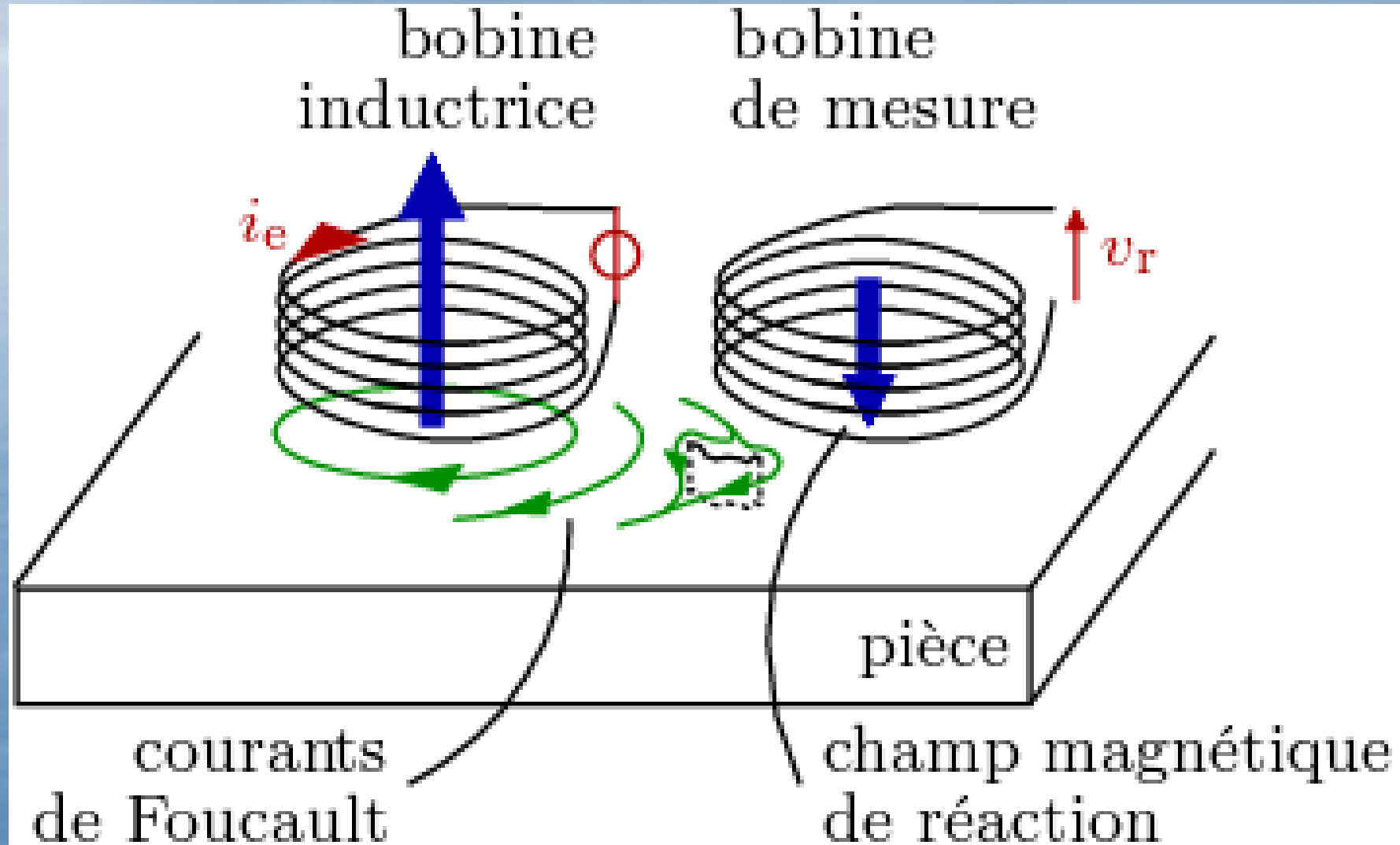
# Principe du contrôle non destructif



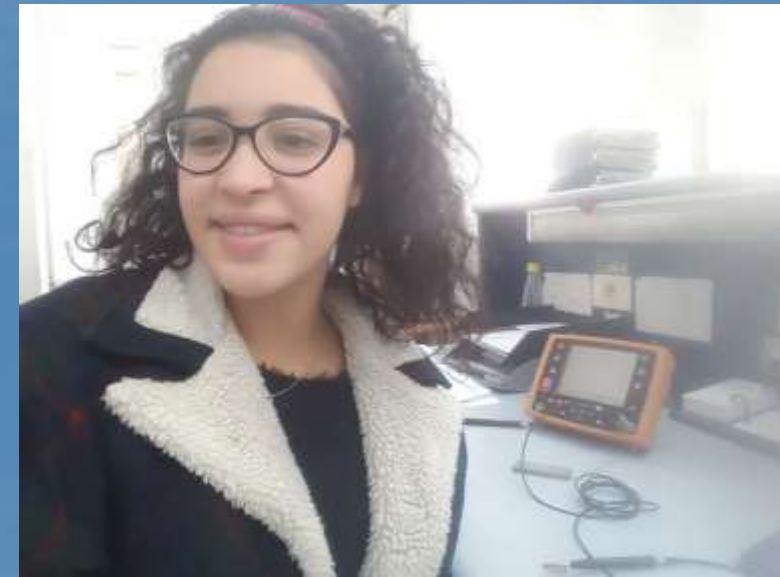
# Différentes techniques de CND

- Émission acoustique
- Courants de Foucault
- Étanchéité
- Magnétoscope
- ressuage
- Radiographie
- Ultrasons
- Examen visuel
- Thermographie

# Méthode de contrôle par courants de Foucault



## 3<sup>ème</sup> expérience





# Modélisation

## Hypothèses

$$\overrightarrow{rot}(\vec{E}) = -\frac{\partial \vec{B}}{\partial t}$$

$$\overrightarrow{rot}(\vec{H}) = \vec{j}$$

$$\text{div}(\vec{j}) = 0$$

$$\vec{j} = \vec{j}_0 + \vec{j}_s$$

$$\vec{j}_0 = \gamma \vec{E}$$

$$\vec{B} = \mu \vec{H}$$

$$\text{div}(\vec{B}) = 0$$

$\exists \vec{A} \setminus \vec{B} = \overrightarrow{rot}(\vec{A})$  avec  $\vec{A} \leq$  potentiel vecteur magnétique

$$\overrightarrow{rot}(\vec{E}) = -\frac{\partial \vec{B}}{\partial t} \Rightarrow \overrightarrow{rot}(\vec{E}) = -\frac{\partial}{\partial t} \overrightarrow{rot}(\vec{A})$$

$$\overrightarrow{rot}\left(\vec{E} + \frac{\partial \vec{A}}{\partial t}\right) = \vec{0}$$

$$\Rightarrow \exists \forall \vec{E} + \frac{\partial \vec{A}}{\partial t} = -\overrightarrow{grad}(V)$$

$$\Rightarrow \vec{E} = -\overrightarrow{grad}(V) - \frac{\partial \vec{A}}{\partial t}$$

Et on a  $\text{div}(\vec{j}) = 0$  et  $\overrightarrow{rot}(\vec{H}) = \vec{j}$  ainsi  $\overrightarrow{rot}(\vec{H}) = \vec{j}_0 + \vec{j}_s$  avec  $\vec{j}_s = \gamma \vec{E}$

$$\Rightarrow \overrightarrow{rot}(\vec{H}) = \vec{j}_0 + \gamma \vec{E} \Rightarrow \overrightarrow{rot}\left(\frac{\vec{B}}{\mu}\right) = \vec{j}_0 - \gamma(\overrightarrow{grad}(V) - \frac{\partial \vec{A}}{\partial t})$$

$$\Rightarrow \overrightarrow{rot}\left(\frac{1}{\mu} \overrightarrow{rot}(\vec{A})\right) = \vec{j}_0 - \gamma(\overrightarrow{grad}(V) - \frac{\partial \vec{A}}{\partial t})$$

$$\Rightarrow -\frac{1}{\mu} \Delta(\vec{A}) + \gamma \frac{\partial \vec{A}}{\partial t} = \vec{j}_0 - \overrightarrow{grad}\left(\frac{1}{\mu} \text{div}(\vec{A}) + \gamma V\right)$$

$$\Rightarrow -\frac{1}{\mu} \vec{\Delta}(\vec{A}) + \gamma \frac{\partial \vec{A}}{\partial t} = \vec{j}_0 - \overrightarrow{\text{grad}} \left( \frac{1}{\mu} \text{div}(\vec{A}) + \gamma V \right)$$

On a  $\text{div}(\vec{A})=0$  d'après la jauge de Coulomb

On projette suivant x:

$$\text{On aura } -\frac{1}{\mu} \Delta(A_x) + \gamma \frac{\partial A_x}{\partial t} = \vec{j}_0 - \gamma \frac{\partial V}{\partial x}$$

On suppose que  $\frac{\partial V}{\partial x}=0$

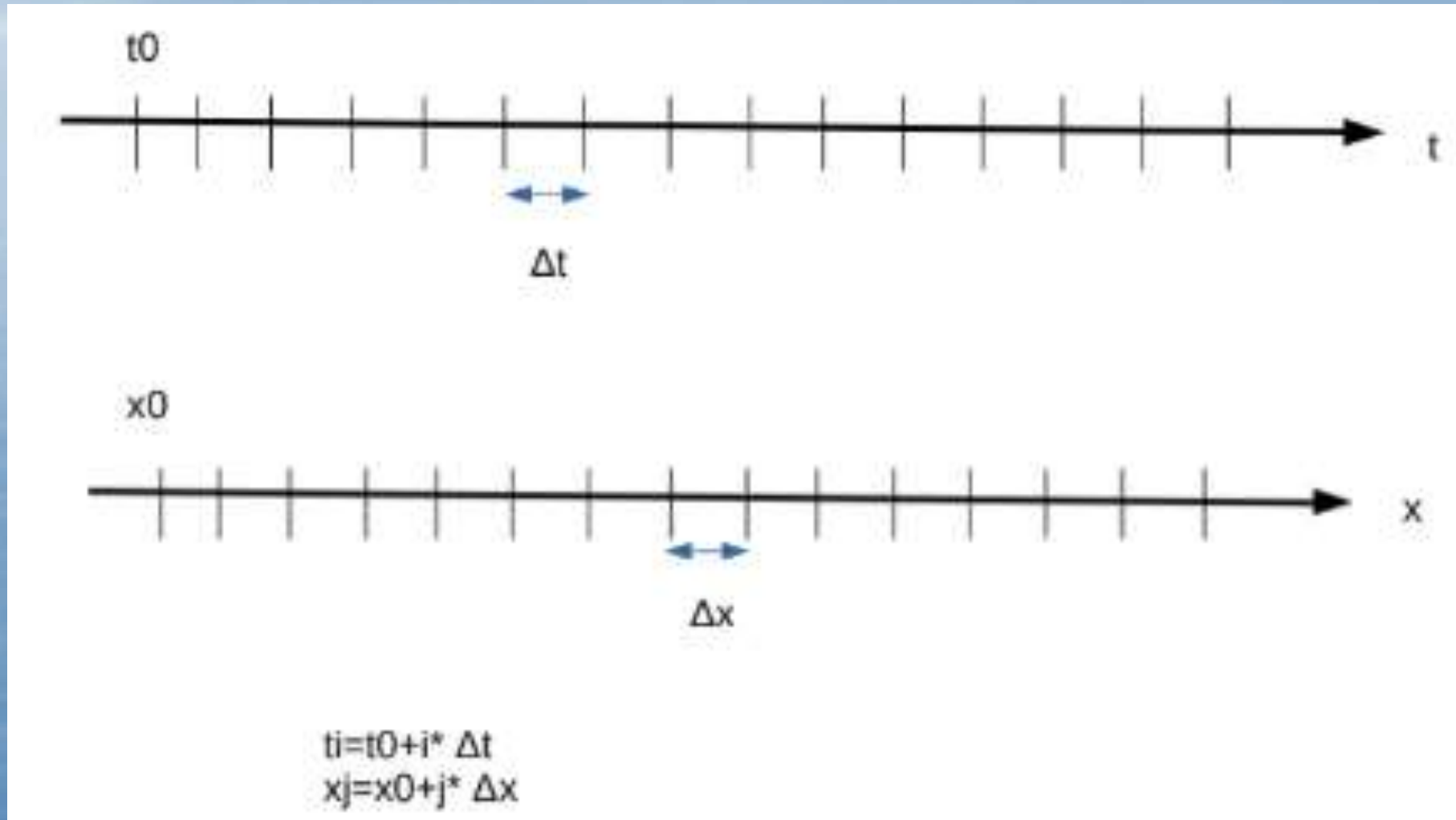
$$\Rightarrow -\frac{1}{\mu} \Delta(A_x) + \gamma \frac{\partial A_x}{\partial t} = \vec{j}_0$$

$$\text{On a } \Delta(A) = \frac{\partial^2 A}{\partial x^2} + \frac{\partial^2 A}{\partial y^2} + \frac{\partial^2 A}{\partial z^2}$$

$$\text{On suppose que } \Delta(A) = \frac{\partial^2 A}{\partial x^2}$$

$$-\frac{1}{\mu} \frac{\partial^2 A}{\partial x^2} + \gamma \frac{\partial A_x}{\partial t} = \vec{j}_0 - \gamma \frac{\partial V}{\partial x}$$

# Réolvons cette équation avec la méthode de différences finies



A est de classe C1 par rapport au temps .

Effectuons un développement de Taylor à l'ordre 1

$$\Delta t \ll 0$$

$$\Delta t_i \rightarrow 0$$

$$A(x, t_i + \Delta t) = A(x, t_i) + \Delta t \frac{\partial A}{\partial t} + O(\Delta t^2)$$

$$\Rightarrow \frac{\partial A}{\partial t} = \frac{A(x, t_i + \Delta t) - A(x, t_i)}{\Delta t}$$

$$\text{On note également: } \frac{\partial A}{\partial t} = \frac{A_{i+1}^j - A_i^j}{\Delta x}$$

A est de classe C2 par rapport au temps .

Effectuons un développement de Taylor à l'ordre 2

$$\Delta x \ll 0$$

$$\Delta x \rightarrow 0$$

$$A(x_j + \Delta x, t) = A(x_j, t) + \Delta x \frac{\partial A}{\partial x} + \frac{\Delta x^2}{2!} \frac{\partial^2 A}{\partial x^2} + O(\Delta x^3)$$

$$A(x_j - \Delta x, t) = A(x_j, t) - \Delta x \frac{\partial A}{\partial x} + \frac{\Delta x^2}{2!} \frac{\partial^2 A}{\partial x^2} + O(\Delta x^3)$$

$$\Rightarrow \frac{\partial^2 A}{\partial x^2} = \frac{A(x_j + \Delta x, t) + A(x_j - \Delta x, t) - 2A(x_j, t)}{\Delta x^2}$$

$$\text{On note également : } \frac{\partial^2 A}{\partial x^2} = \frac{A_i^{j+1} + A_i^{j-1} - 2A_i^j}{\Delta x^2}$$



$$- \frac{1}{\mu} \Delta(A_x) + \gamma \frac{\partial A_x}{\partial t} = \vec{j}_0$$

$$- \frac{1}{\mu} \frac{A_i^{j+1} + A_i^{j-1} - 2A_i^j}{\Delta x^2} + \gamma \frac{A_{i+1}^j - A_i^j}{\Delta x} = j_0$$



$$A_{i+1}^j = (j_0 + \frac{1}{\mu} \frac{A_i^{j+1} + A_i^{j-1} - 2A_i^j}{\Delta x^2}) \cdot \frac{\Delta t}{\gamma} + A_i^j$$

# Conclusion

- ✓ La propagation des fissures est un phénomène physique complexe, d'où la nécessité d'un couplage entre la méthode expérimentale avec la modélisation physique et résolution numérique.
- ✓ La technique différence finie ne permet que de reproduire la diffusion de la chaleur par contre je n'arrive pas à simuler la fissure.
- ✓ Des méthodes numériques plus élaborées sont nécessaires pour comprendre finement le phénomène.

# Annexes

```
#3D heat equation

#from math import pi, exp, sqrt
from numpy import pi,exp,sqrt
import matplotlib.pyplot as plt
from mpl_toolkits.mplot3d import axes3d
import matplotlib.animation as animation

fig = plt.figure()
fig.set_dpi(100)
ax1 = fig.gca(projection='3d')

x = np.linspace(-5,5,30)
y = np.linspace(-5,5,30)

X,Y = np.meshgrid(x,y)

#Initial time
t0 = 0

#Time increment
dt = 0.05

#Initial displacement at (0,0) at t0=0
u = 2000

#Sigma squared
s = 2

#displacement function
def f(x,y,t):
    return (u/sqrt(1+4*t/s))*exp(-(x**2+y**2)/(s+4*t))

#def f(x,t):
# (u/sqrt(1+4*t/s))*exp(-(x**2)/(s+4*t))

a = []

# 500
for i in range(1000):
    z = u(X,Y,t0)
    t0 = t0 + dt
    a.append(z)

m = plt.cm.ScalarMappable(cmap=plt.cm.jet)
#m = plt.cm.ScalarMappable(cmap=plt.cm.hot)
m.set_array(a[0])
cbar = plt.colorbar(m)

k = 0

def animate(i):
    global k
    temp = a[k]
    k += 1
    ax1.clear()

    ax1.plot_surface(X,Y,temp,rstride=1, cstride=1,cmap=plt.cm.jet,linewidth=0,antialiased=False)
    #ax1.plot_surface(X,Y,temp,rstride=1, cstride=1,cmap=plt.cm.jet,linewidth=0,antialiased=False)

    #ax1.contour(X,Y,temp)
    ax1.set_zlim(0,T)
    ax1.set_xlim(-5,5)
    ax1.set_ylim(-5,5)

anim = animation.FuncAnimation(fig,animate,frames=220,interval=20)
plt.xlabel("X en km")
plt.ylabel("Y en km")
plt.show()
```

```

import time
import numpy as np
import matplotlib.pyplot as plt

dx = 0.01
dy = 0.01
a = 0.5 # Diffusion constant.
timesteps = 200
nx = int(1/dx)
ny = int(1/dy)

dx2 = dx**2
dy2 = dy**2

# Pour des considérations de stabilité numérique du schéma numérique
# on prend cette valeur maximale pour le pas temporel
dt = dx2*dy2/(2*a*(dx2+dy2))

u = np.zeros([nx,ny,timesteps])

"""
for i in range(nx):
    for j in range(ny):
        if ( (i*dx - 0.5)**2 + (j*dy-0.5)**2 <= 0.1)
            & ((i*dx-0.5)**2 + (j*dy-0.5)**2 >= 0.05 ) ):
            u[i,j,0] = 1.

from numpy.random import random

for i in range(nx):
    for j in range(ny):
        u[-1,j,0] = 1

from numpy.random import random

for i in range(nx):
    for j in range(ny):
        u[0,j,0] = 1.

from numpy.random import random

for i in range(nx):
    for j in range(ny):
        u[i,j,0] = random()

#####
for i in range(nx):
    for j in range(ny):
        u[0,j,0] = 10.

for i in range(nx):
    for j in range(ny):
        u[10,j,0] = 10.

for i in range(nx):
    for j in range(ny):
        u[20,j,0] = 10.

for i in range(nx):
    for j in range(ny):
        u[30,j,0] = 10.

for i in range(nx):
    for j in range(ny):
        u[40,j,0] = 10.

#####

```

```

#####
for i in range(nx):
    for j in range(ny):
        u[0,j,0] = 10.

for i in range(nx):
    for j in range(ny):
        u[10,j,0] = 10.

for i in range(nx):
    for j in range(ny):
        u[20,j,0] = 10.

for i in range(nx):
    for j in range(ny):
        u[30,j,0] = 10.

for i in range(nx):
    for j in range(ny):
        u[40,j,0] = 10.

for i in range(nx):
    for j in range(ny):
        u[80,j,0] = 5.

for i in range(nx):
    for j in range(ny):
        u[90,j,0] = 5.

import random as r

LX = [r.randrange(0,100) for x in range(100)]
LY = [r.randrange(0,100) for x in range(100)]

for x in LX:
    for y in LY:
        u[x,y,:] = 100.*r.random()

"""
for i in range(0,30):
    for j in range(25,28):
        u[i,j,0] = 10.

def calcul(u):
    global nx,ny
    for k in range(timesteps-1):
        print("Computing u for k= ",k)
        for i in range(1,nx-1):
            for j in range(1,ny-1):
                u[i,j,k+1] = u[i,j,k] + dt*a*((u[i+1,j,k] - 2*u[i,j,k] + u[i-1,j,k])/dx2
                    +(u[i,j+1,k] - 2*u[i,j,k] + u[i,j-1,k])/dy2)

```